

专论与综述

蛙视觉及其电子模拟(下)

王书荣

(中国科学院生物物理研究所)

三、蛙的视觉指导行为实验

蛙在生活环境中的运动，捕食和避敌反应主要受视觉的指导。要研究蛙的视觉功能，揭示蛙的图象识别本领，就必须研究蛙的视觉行为，并把行为与细胞水平上电生理学研究资料相互比较。比较指出，蛙的行为和视网膜检测器的反应有下述差别：

(1) 蛙的2类神经元是“昆虫检测器”，对 $3-5^{\circ}$ 的黑物体产生最大反应；刺激面积再增大，就会盖上感受域的抑制性外周，神经元的放电频率就下降。但野外试验指出， $8-10^{\circ}$ 的假苍蝇引起最大的跳起捕食反应。显然，最大的行为反应迥异于2类神经元的最大电活动。因此，人们假定，单个2类神经元的最大反应不是触发捕食反应的重要因素；要触发最大的捕食反应，必须要有许多2类神经元的反应，才能使脑中的捕食机构达到最大的触发。当然，蛙的捕食行为不可能只由2类神经元的输入所决定。

(2) 蛙的朝向反应显示“大小恒定性”，似乎能估计到距离的作用。刺激距蛙7.5厘米时，0.45厘米大的刺激对应 3.6° ，0.15厘米的刺激对应 1.2° ；而当刺激距蛙22.5厘米时，0.45厘米对应 1.2° ，1.35厘米对应 3.6° 。在试验时，要使所有刺激的角速度相等。用7只蛙做的试验结果表明，蛙优先对0.45厘米大小的黑刺激发生反应(表1)。用蟾蜍做的行为试验也指出，蟾蜍优先选择0.5—1.0厘米的目标；改变动物和刺激之间的距离，蟾蜍仍然朝向这样大小的目标。这说明蟾蜍也是按目标的绝对尺寸，而不是目标的视角大小进行识别的。

表1 蛙优先选择0.45厘米的刺激

蛙 编 号	距 离 7.5 厘 米		距 离 22.5 厘 米	
	0.15 厘米 (1.2°)	0.45 厘米 (3.6°)	0.45 厘米 (1.2°)	1.35 厘米 (3.6°)
1	5	9	9	8
2	6	10	10	3
3	2	8	8	4
4	6	10	10	4
5	4	9	10	2
6	0	9	10	2
7	6	10	8	1
全组	41%	93%	93%	34%

显然，蛙的这一行为也与它的2类神经元的最大电活动不符。在0.45厘米大小的刺激距蛙22.5厘米时，其视角只有 $1-2^{\circ}$ ，只是2类神经元最佳刺激视角的50%左右。若假定蛙在看远处物体时，能缩小2类神经元的感受域，这个矛盾就好解释了。D. Ingle (1968) 提出，从脑走向视网膜的离中神经纤维升高ERF外周的抑制水平，从而使2类神经元的感受域变小(图4)。所以，当刺激远离蛙时，逐渐缩小的视角仍能使2类神经元同样发放脉冲。无轴突

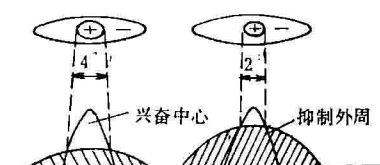


图4 解释蛙捕食反应“大小恒定性”的示意图

细胞可能参与了这种抑制作用。无轴突细胞介于双极细胞和神经节细胞之间，且在水平方向上伸展很长的距离。有人观察到，在感受域外的刺激可以减小神经元对通过 ERF 的虫子样刺激的反应，在此过程中起作用的可能就是无轴突细胞。此外，也有人报道，离中的神经纤维直接终止在无轴突细胞上。所以，“大小恒定性”模型是与一些解剖学和电生理学资料相一致的。

(3) 与 2 类神经元的反应相反，蛙对刺激边缘的撤出反应强烈。在试验箱壁上刻出 1.2×0.3 厘米的矩形孔，使黑纸板在孔后运动，蛙表现出优先朝向撤走的黑边，无论矩形孔是垂直的或是水平的。如果使整个矩形的背景是黑的，使白色纸板在矩形孔后运动，蛙则优先朝向撤出的白边。

为了解释蛙的行为反应，Ingle 观察了蟾蜍对在黑地板上爬行的淡黄色面粉虫的反应。用快速摄影和单镜头分析技术发现，蟾蜍总是转而朝向面粉虫的头部。看来，蟾蜍朝向在黑背景上爬行的虫子头部，和优先朝向撤走的黑边是有同一意义的。同时也发现，蟾蜍在捕食虫子时，几乎总是舌击虫体中部：蟾蜍先朝向虫头，在 30 毫秒内迅速摆回头部，弹舌命中虫体当中(图 5, A)。这说明蟾蜍在朝向虫头时，也观察到虫尾的运动。如果用两小块肉同时运动，蟾蜍将攻击它们距离的当中。蛙也容易被愚弄，用两支铅笔做同步运动，蛙也向其间的“空当”击舌。蛙和蟾蜍只注意两头，中间是不管的，需要接收和加工的视觉信息就更少了。

蛙和蟾蜍对反差的感受是可变的。用蟾蜍做的行为实验表明，夏天，在黑背景上运动的白色目标，比白背景的黑目标，更有效地引起朝向反应；冬天，情况正好相反。视网膜的 2 类神经

元的活动也有黑白的优先变化。夏天，其感受域在上半视野的神经元主要被黑刺激兴奋，下半视野对应的神经元则更多地受白刺激作用；冬天，情况也正好相反。神经节对反差反应特性的逆转，可能最终导致两栖类冬天停止捕食。

四、蛙脑是行为的决策中心

视网膜把经过预加工的信息输送到视顶盖和丘脑，在蛙脑受到进一步处理，从而实现目标的识别、定位和反应机构的触发。蛙的捕食行为由下列运动构成：朝向运动，双眼注视，突然跳起，弹舌猛捕，吞咽和清咀。蛙在决定捕食前，要双眼注视目标一段时间，似乎在进行食物“评价”。这可能是因为运动前指令纤维需要其他神经元的许多脉冲才能触发。蛙一旦决定捕食某个目标，从跳起到吞咽就不再需要看猎物了。用蟾蜍做的实验更有趣：当蟾蜍双眼注视猎物时，瞬间把目标拿开，正常的捕食行为仍然进行——猛捕，吞食，清咀，虽然什么也没有吃着。它们的捕食动作是一成不变的。看来，对于蛙的每个本能动作，蛙脑里都有一个预先编好程序的“印刷”神经元线路，若其一旦被天然刺激或人为的电刺激所触发，先天的动作就自动进行。

但是，行为的触发动作也受其他刺激的影响。例如，蛙对小的运动目标感兴趣，并趋近之；对大的运动物体则躲避；如果背景是蓝光，蛙就接近大的物体。如果使蛙听 1,500 赫的声音，它就不接近小的运动物体了。这些结果指出，蛙动作的确定，还涉及到其他感觉，是各种感觉信息在脑里进行整合的结果，当然起主要作用的是视觉信息。

蛙的视觉特征检测神经元分四层终止在视顶盖表面层，它们的轴突末梢与视顶盖神经元的树突相连。现已在蛙和蟾蜍视顶盖中发现 6 类神经元，可按刺激在视野内的位置及运动刺激的特性加以区别 (T_1-T_6)：

T_1 神经元定位在视顶盖前部较深的区域，感受域在双眼视野里。其中一些对单眼刺激有

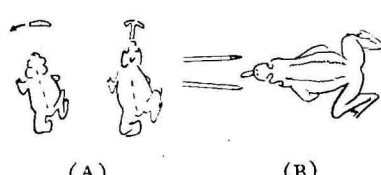


图 5 蟾蜍 (A) 和蛙 (B) 的二等分反应

反应；一些对双眼刺激有反应（双眼与门神经元）。 T_1 神经元的 ERF 约 $15-30^\circ$ 。

T_2 神经元感受域很大，几乎占了一只眼的整个视野，对 $2-15^\circ$ 的运动目标发生反应。刺激越近 ERF 鼻侧，反应越强烈。它们当中有些具有方向检测神经元的性质。

T_3 神经元的 ERF 在鼻前部分的视野里， $20-30^\circ$ 大小。神经元活性取决于目标接近动物的速度。

T_4 神经元 ERF 类似 T_2 的大小，对所有大于 $1-2^\circ$ 运动目标有反应。这些神经元能被触觉、声刺激和动物的轻微振动发生反应。

T_5 神经元的感受域为 $5-15^\circ$ ，ERF 和 IRF 分层出现。因此，当反差刺激通过其感受域时，时有反应，时无反应，反应也有“层次”。

T_6 神经元的感受域在蛙的上半视野里，在两侧伸展 $40-60^\circ$ ，对大于 8° 的运动物体发生反应，且有迅速的神经元适应。

视顶盖神经元除能对触、声、振动发生反应外，某些神经元还能接收前庭刺激。视觉输入和这些刺激一起，可能在视顶盖下脑区进行整合。同时，丘脑除直接由视网膜获得信息外，也由视顶盖获得输入。用蟾蜍做的实验指出，视顶盖里的神经触发线路引起对食物的朝向反应，而丘脑顶盖前区的触发主要是躲避反应。视顶盖兴奋丘脑的顶盖前区，这个丘脑区对视顶盖则起抑制作用（图 6）。这可以用外科手术来证明：切除视顶盖，朝向反应和躲避反应同时丧失；若切除丘脑的顶盖前区，而又不损伤视顶盖，躲避反应丧失，朝向反应则解除了抑制，甚至当存在敌害时也发生朝向反应。

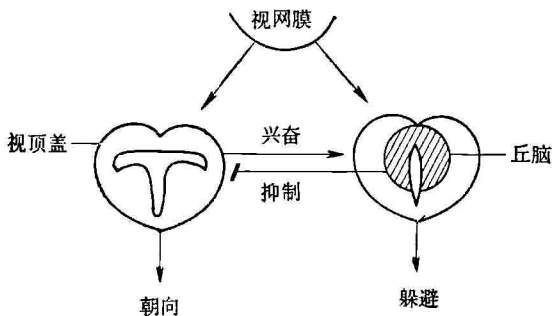


图 6 视顶盖与丘脑之间的联系

因此，蛙的图象识别能力研究不能停留在视网膜一级，在这方面，Lettvin 和 Grüsser 等人做了很好的工作；图象识别过程主要是发生在蛙脑中，特别是视顶盖和丘脑——蛙的视觉中枢。这两个结构在区域上是分离的，但在视觉功能上是密切联系在一起的。在进化的历程中，对应于图像识别在生存中的重要性，哺乳动物发展出了新的视觉信息加工结构——视觉皮层。人的视顶盖在视觉过程中的作用是次要的，大部分视神经纤维经过丘脑的膝状核，投射到视觉皮层区。在这方面，生物的个体发育反映了系统发育。例如，新生大鼠的视顶盖和丘脑的皮层下联系涉及到图像识别，但在成年动物图象识别就发生在皮层里。因此，蛙的图象识别过程的阐明，对揭示高等脊椎动物的视觉信息加工颇有参考价值。

五、蛙眼识别功能的电子模拟

动物视觉功能的电子模拟有助于我们对神经系统运算的了解；也能提供些实际有用的模型。特别是，这样的装置可在遥远的星球或有害的水下环境代替人进行操作。

在探讨发往火星的装置怎样用压缩信息的方法，发回更多的电视图时，McCulloch 指出，我们应从模拟蛙眼开始。蛙视网膜能识别昆虫，并把这个信息报告给脑子。

人们根据 Lettvin 等人的研究，对蛙眼进行了模拟，首先研制了粗糙的“昆虫检测器”模型

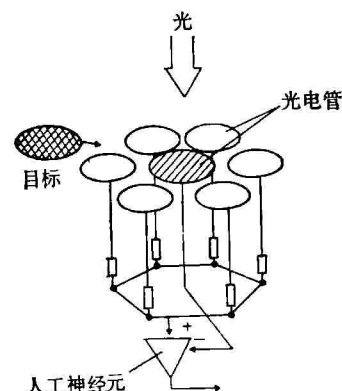


图 7 昆虫检测器模型

(图7)。这个模型应用了7个光电管和1个Harmon人工神经元。其中外周6个光电管的信号为人工神经元的兴奋输入，而中央光电管的信号为抑制输入，它使所有光电管被均匀照亮时人工神经元的输出为零。如果运动目标产生的阴影遮住了外周光电管中的一个，输出信号为负；若目标只遮住中央元件，人工神经元兴奋最大。这样的原理可用在对中心线路中，只有当中心对准了，输出才最大。

复杂的蛙眼电子模型有两种。一种是E. Loebner提出，后经M. Herscher和T. P. Kelley改进的蛙视网膜模型，再现了蛙视网膜的四种图像特征抽取过程；另种是L. L. Sutro用光导摄影管和移位寄存器模拟的蛙视网膜系统，包括光感受器层，双极细胞层及水平细胞层及神经节细胞层。

第一种电子模型共分七层，前面六层对输入视觉信息进行平行加工，第七层是模型的输出指示器。七层的顺序是：感受器——双极细胞，边缘检测器，凸边检测器，无轴突细胞，运动边(反差变化)检测器，变暗检测器和指示器。在模型中，边缘检测神经元(1类神经元)从输

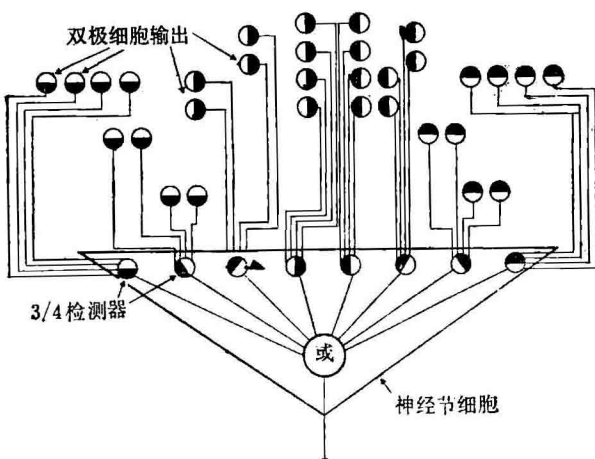


图8 边缘检测器神经节细胞(1类)

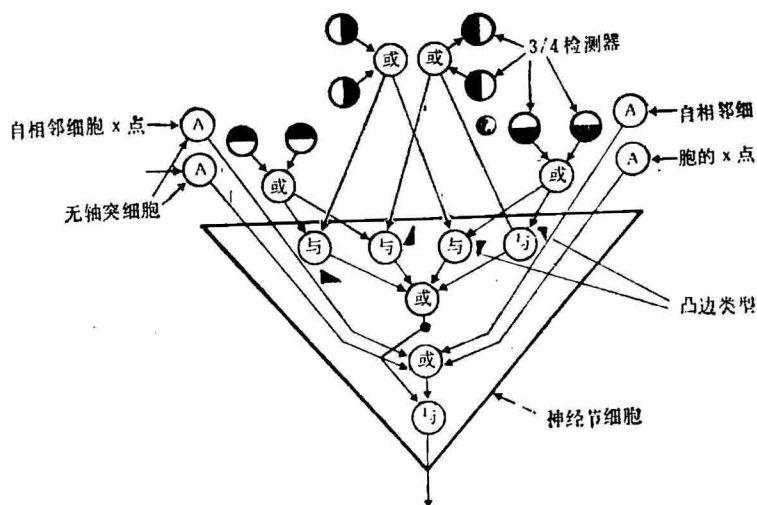


图9 凸边检测神经节细胞(2类)

入图像中抽取边缘。边缘的反差由双极神经元来判定。双极神经元由平衡电桥构成，每个电桥包括2个氖灯和2个光电管(感受器)。当在成双的感受器之间存在边缘时，一只氖灯燃亮作为双极细胞的输出。当指示相同方向反差存在的四个相邻双极细胞输出在一个“四分之三检测器”加和时，就指示边缘的存在(图8)。当对相似方向上的某些不相邻的双极神经元输出加和时，也能抽取斜边。双极神经元输出(两水平，两垂直)的8种连接，在“或”门加和，便得到1类神经元的输出。

凸边检测神经元抽取一定方向上运动着的暗凸边。它的输入来自1类细胞的3/4检测器，两个反差方向相同的3/4检测器连接到一个“或”开关。两群有不同方向反差的3/4检测器连接到“与”开关就能检测一种暗凸边。四种可能的暗凸边构成“或”开关，便可检测2类神经元视野里出现的任一暗凸边(图9)。在模型中，无轴突细胞的功能是对2类神经元感受域内存在暗凸边提供短期记忆，是跟踪侧向运动的神经机构。

运动边(反差变化)检测器发现其感受域里比较大的暗物体的反差变化。它的输入从边缘检测神经元(1类)得到，把输入

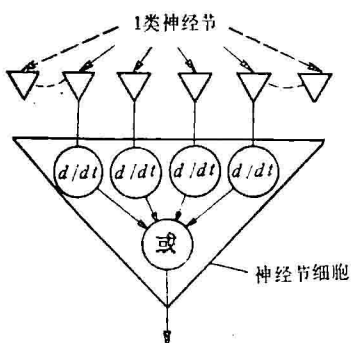


图 10 反差变化神经节细胞(3类)

电压微分后馈给“或”开关。3类神经节的输出是模拟信号，可作为输入图像大小和边缘运动速度的量度(图10)。

变暗检测神经元抽取其感受域中的暗度变化。这种神经元的信息由定位在第一层感受器——双极神经元群当中的4类感受器提供。许多4类感受器的电压加和，微分，通过产生撤光反应的逻辑线路，即可检测出视野里的变暗(图11)。

这个模型前四层之间的联系，是借助排列在前层后面的氘灯，和安装在后层前面的光电管实现的。也就是说，模型神经元之间的大多数“突触”是借助光通量完成的。第5层的输入信号从第2层得到，第6层是利用第1层板面上的专门感受器获得所需要的信息。电子蛙眼很复杂，工作时共完成4,580次运算，需要32,000个电路元件，其中包括3,793个光电管和2,652个氘灯。2,000多对氘灯-光电管提供了各信息加工层之间的“光联接”。为了实验方便，模型

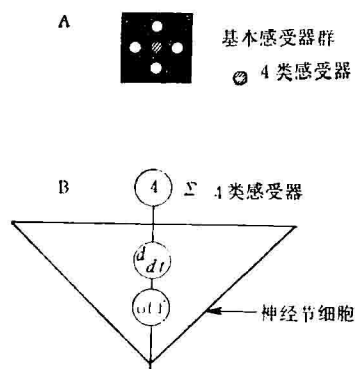


图 11 4类感受器的位置(A)和4类神经节细胞(B)

做得很大，约有1.8立方米。实际上，也可以把它的体积大大缩小，做得像青蛙那么大。

这样的电子蛙眼已用在机场上，它能监视起飞和降落的飞机，若发现飞机将要发生碰撞时能及时发出警报。在这个模型的基础上，人们又研制成功一种人造卫星自反差跟踪系统，并投入实用。

一种能表示蛙视网膜上百万个感受器，体积小而轻的装置是摄像管。摄像管表面的光栅是矩形，共有510行，每行包括510个位置。这样，一个摄像管表面可代表 510×510 (26万)个感光细胞，其中满足计算和设计方便条件的有25万个左右。在这种蛙眼电子模型中，应用了数字和模拟计算技术。模型中四类检测器的感受域(RF)大小，和在RF直径上的感受器数列于表2。

表2 蛙视网膜及其模型的RF性质

神经节 细 胞 类 型	蛙 视 网 膜			电 子 模 型	
	RF	RF 直径上 的 感受器数	RF 面积内 的 感受器数	假定的 RF	RF 直径上 的 感受器数
1	1—3°	12—36	114—1,020	3°	36
2	3—5°	36—60	1,020—2,840	3°	36
3	7—12°	84—144	5,550—16,400	9°	108
4	15°	180	25,000	9°	108

这种蛙眼电子模型见图12。摄像管表面每个细胞的输出，转变为数字化的对数，以四位二进制数字表示，馈给双极和水平细胞所在的移位寄存器。 L_p 表示现时照度， L_h 表示一段时间内照度积分的数字化对数。这些数据在移位寄存器里从左向右移动，其速率与电子束在两个光导摄像管里扫描的速率相同。数据到达上面一列的右端，就转入下列的左端。当摄像管里电子束扫过三条光栅时，移位寄存器被充满。电子束再扫描新的细胞时，一个数字词就被送到表示双极细胞的圆柱体内进行计算。移位寄存器前面圆圈内的七个数字词被计算时，圆柱体前部把中心词与外周6个词比较，以确定其间是否存在反差(边缘)；圆柱体后部完成的计算，是把这个区域内的 L_p 与 L_h 进行比较，

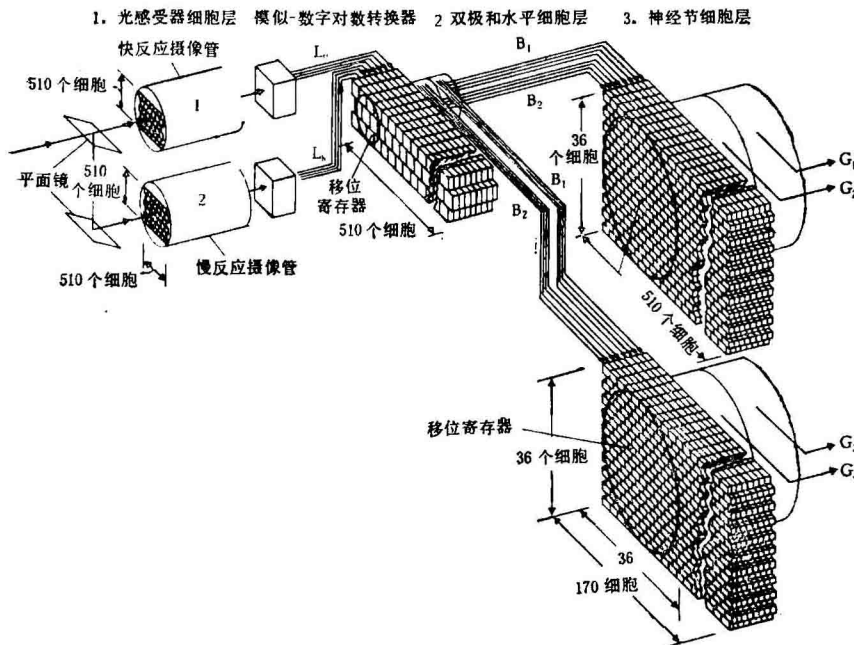


图 12 Sutro 设计的蛙眼电子模型

以确定是否有变亮或变暗的情况。

这两个双极细胞模型的计算结果都是六位二进制数字构成的词 (B_1 和 B_2)。这两个词输入到两箱移位寄存器，一个表示 1 类和 2 类神经节细胞 (G_1 和 G_2)，另一个代表 3 类和 4 类神经节细胞 (G_3 和 G_4)。根据表 2 的假定，1 和 2 类神经节细胞的 RF 是直径上有 36 个细胞的圆形区域，要求的移位寄存器有 36 列，背面的模拟计算机完成 1 和 2 类神经节细胞的运算。在模型里，3 和 4 类神经节细胞 RF 直径上也是 36 个细胞，但由于其感受域是前两类的 3 倍，就要求每列移位寄存器代表 3 条光栅，移位寄存器的每个位置就必须代表光栅上的 3 个位置。因此，每列移位寄存器的位置数只有 170。它们后面的模拟计算机完成蛙视网膜 3 和 4 类检测器的运算。这样的蛙眼模型有可能像真实的蛙眼那样反应迅速。

从 1966 年开始，人们根据脊椎动物（包括蛙）视觉和神经系统的信息加工方式，提出神经系统中几种“计算机”的关系，并进而探索工程模拟实现的途径。T. Lerman 提出的在模糊图像中检测深度的计算系统，与 Sutro 的蛙眼模型有某些相似处。装有这种系统的机器人应能

根据 Lerman 系统的测量，决定如何绕过岩石。

蛙眼及与其联接的视觉系统，特别适于发现苍蝇大小的运动目标，因为这样的目标是蛙的主要食物。显然，蛙要使自己捕食成功，首先要能把飞行的昆虫与其他东西，特别是稳定的背景区别开来。此外，蛙要了解昆虫在某个时刻的位置，运动方向和速度大小。它也要能估计这一时刻，

即此时昆虫足够近，只要弹出舌头就能捕获。从这里可以看出，蛙识别目标遇到的问题，和雷达手遇到的问题相似。因此，要研制雷达屏上目标判读机，认识蛙视觉图像的识别机制和神经元性质是有益的。人们已设计出这样的机器，并从理论上证明它能满意地判断出雷达屏的信号。但是，目前要把上百万个部件装在很小的装置尚不能实现；虽然微电子学的发展不久可达到这一点，仍缺乏所需要的有特殊功能的部件。因此，这类雷达目标判读机还有待今后科学技术的发展。

参 考 文 献

- [1] John Alcock: *Animal Behavior: An Evolutionary Approach*, 1975.
- [2] W. R. A. Muntz: *Sci. Amer.*, **210**, No. 3, 1964.
- [3] B. Pomeranz et al.: *Science*, **170**, No. 3961, 1970.
- [4] O. T. Grüsser et al.: *Pflügers Archiv*, **293**, 1967.
- [5] Ed. by R. Tung: *Handbook of Sensory Physiology V. VII/3: Central Processing of Visual Information*, part A, 1973.
- [6] Ed. by K. V. Fite: *The Amphibian Visual System: A Multidisciplinary Approach*, 1976.
- [7] А. П. Бызов: *От Нейрона к Искусственному Мозгу*, 1971.
- [8] А. Коут: *Проблемы Бионики*, 1965.

[本文于 1977 年 10 月 29 日收到]